

# バス結合型並列処理システムによる ハミルトン閉路求解

山瀧 倫明

黒川 恭一

松原 隆

古賀 義亮

防衛大学校 情報工学教室

〒239 神奈川県横須賀市走水1-10-20

電子メール : MATUBARA@JPNNDA.BITNET

あらまし DSPを用いて構成した複数のPEをバス結合した並列処理システムを1993年に試作した<sup>[2]</sup>。グラフ理論の分野からハミルトン閉路求解問題を取り上げ、求解アルゴリズムであるエニュメレーションメソッド及びマルチパスメソッドを本システムに実装してハミルトン閉路を求めた。各アルゴリズムの処理能力及びに本システムの並列処理能力とその制約要因等について報告する。

キーワード 並列処理、バス結合、DSP、ハミルトン閉路

## Experimental results on Hamiltonian Cycles by using a Bus Connected Parallel Processing System

Michiaki YAMATAKI Takakazu KUROKAWA Takashi MATSUBARA Yoshiaki KOGA

Department of Computer Science, National Defense Academy

1-10-20 Hashirimizu, yokosuka 239, Kanagawa

E-mail : MATUBARA@JPNNDA.BITNET

**Abstract** A parallel processing system was experimentally produced in 1993. This system consists of bus connected PE's composed of DSP. We try to get Hamiltonian Cycles well-known in the field of graph theory by using two algorithms, enumeration and multi-path methods. In this paper, we report experimental results given by those algorithms and parallel processing of this system and give some restrictions of parallel processing on this problem.

key words Parallel Processing, Bus Connection, DSP, Hamiltonian Cycles

## 1. はじめに

近年、各種の応用分野で、より高速な処理を要求する場合があり、それに答えるため専用プロセッサによる並列処理システムの研究開発が行われている<sup>[1]</sup>。

当研究室では1993年に、DSPを用いて構成したPEをバスで結合した並列処理システムを試作し<sup>[2]</sup>、信号処理関連のアプリケーションによって性能評価を行っている<sup>[3]</sup>。本報告では、グラフ理論の分野からハミルトン閉路求解問題を取り上げ、これを解くためにエニュメレーションメソッド及びマルチパスメソッドという2つのアルゴリズムを本システムに実装し、ハミルトン閉路を求めた結果を報告する。

## 2. システムの概要

本システムは、複数のPEをバス結合したMIMD型並列処理システムである。バス結合方式による並列処理システムの構成は、PEの増設によるシステムの拡張が容易であること、全てのPEへデータをブロードキャストすることが可能であること等の特長がある。

### 2.1 ハードウェア構成

ハードウェアの構成は図1のとおりである。データの入出力及びシステムの監視用にホストとしてパーソナルコンピュータ(PC-286VG)を置き、システムバスは、32ビットデータバス、15ビットアドレスバス、21本のコントロールバスと6ビットアービトリエーションバスから構成されている。PEの実装数は現在のところ、4PEであるが最大64PEまで拡張可能である。

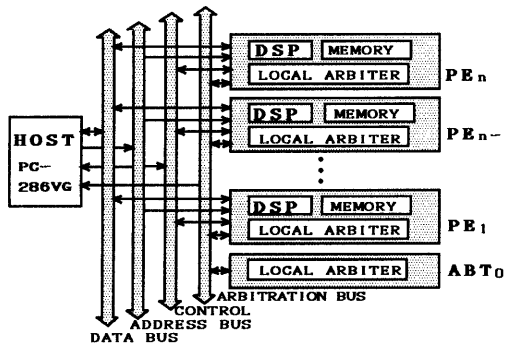


図1 ハードウェア構成

## 2.2 PEの概要

PE(プロセッシングエレメント)は、32ビットDSPを中心とし、32kワードのインストラクションRAM及びデータRAM、1チップのPAL上に構成した6ビットローカルアービタ、インタフェース回路等から構成されている。

## 2.3 DSPの概要

DSPはNEC製のμPD77240を使用している。このDSPの処理データは32ビット浮動小数点データ、24ビット固定小数点データである。処理速度は90ns/1インストラクションを限度としているが、本システムではシステムクロック(8MHz)の制約により、125ns/1インストラクションとなっている。このDSPは内部の乗算器(32ビット×32ビット)で高速積演算が行えること、インストラクションROM及びデータROMにマトリクス演算ライブラリがあらかじめ書き込まれていることや、3ステージのパイプライン処理が行えること等から、高速、高精度の要求されるディジタル信号処理に適している。さらに2組の独立したデータRAM(512×32ビット)をレジスタと同様に使用できるなど信号処理以外の複雑な処理にも十分対応できるものである<sup>[4]</sup>。

## 2.4 ホストとPE間の通信

ホストとPE間の通信機能としては、次の4機能がある。

- (1) ホストから特定のPEまたは全PEへのデータのダウンロード。
- (2) ホストから特定のPEまたは全PEへの処理開始信号の送信。
- (3) PEからホストへの全PEの処理終了信号及びアービトリエーション信号の送信。
- (4) PEのデータのホストへのアップロード。

## 2.5 ソフトウェア及び開発環境

ソフトウェア構成はホスト用とPE用に分かれしており、ホスト用プログラムの機能はPEとの通信、PEの処理時間(msc単位)測定、PE用プログラムの開発支援であり、またPE用プログラムの機能はホストとの通信、ハミルトン閉路求解処理である。

開発環境は、開発マシンとしてPC-286VG、OSはMS-DOS、言語に関しては、

ホスト用はC言語、PE用は $\mu$ PD77240アセンブリ言語<sup>[6]</sup>である。PE用プログラムの開発支援機能としては、PEの処理終了後、ホストでPEのデータRAMの記憶内容を表示することができる。

### 3. ハミルトン閉路の求解

#### 3.1 ハミルトン閉路

ハミルトン閉路とは、頂点とarcからなるいわゆる有向グラフにおける全ての頂点をちょうど一度づつ通る閉路のことである。例として頂点数が6のグラフを図2(a)に示す。このグラフには図2(b)に太線で示すようにハミルトン閉路が2つ存在する。

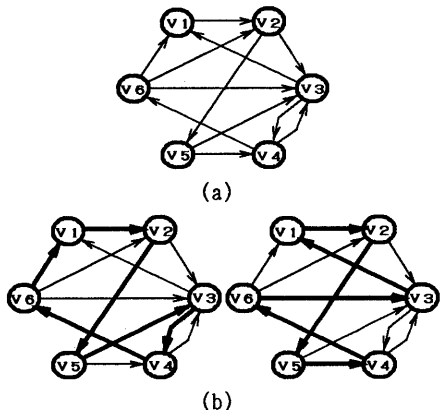


図2 グラフのハミルトン閉路

#### 3.2 ハミルトン閉路求解アルゴリズム

##### 3.2.1 エニュメレーションメソッド

- アルゴリズムを以下のStep0からStep7に示す。
- Step0: 最初の頂点を通過頂点リストに記入する。
- Step1: 通過頂点リストが空であればENDへ。
- Step2: 現在の頂点の既選択arcリストに記入されていないarcがあればそのarcを選択し、既選択arcリストに記入する。無ければ、後進\*しStep1へ。
- Step3: 選択したarcに従って前進する。
- Step4: 現在の頂点が通過頂点リストに存在しなければ記入する。存在すれば記入せず後進し、Step1へ。
- Step5: 通過頂点リストの記入頂点数が全頂点数より少なければStep1へ。
- Step6: 現在の頂点から最初の頂点へのarcがあればハミルトン閉路であるから出力する。
- Step7: 後進\*しStep1へ。

End :

注、後進\*: 後進するとき、当該既選択arcリストを消去し、通過頂点リストから当該頂点を消去することを表す。

このアルゴリズムの概略のイメージは、グラフの中で、任意の頂点から出発して、各頂点でarcを順序よく、もれなく、選択、前進し、必要に応じて、(ハミルトン閉路でないことが明かになった場合、またハミルトン閉路を発見して次のハミルトン閉路の探索を開始する場合)後進して、ハミルトン閉路を全て探すというものである。Step0からStep7に示したようにアルゴリズムは比較的単純であり、この点は必ずしも十分ではない開発環境において、DSPのアセンブリ言語で記述する際には利点となる。しかしグラフが大規模になると処理時間が急激に増加する欠点がある。

##### 3.2.2 マルチパスメソッド

マルチパスメソッドのアルゴリズムはエニュメレーションメソッドを基本とし、そのアルゴリズムの各段階でグラフの退化処理を行うことによって複数のパスが生成され、最終的にはそのパス同士が接続されハミルトン閉路となるものである。その名前はハミルトン閉路を探索する過程で、複数のパス(マルチパス)が生成されることに由来する。このアルゴリズムのキーポイントは統合可能な頂点は統合し、削除可能なarcは削除することによってグラフを可能な限り退化することである。退化による頂点の統合は前進及び後進回数、またarcの削除はarc選択回数の減少をもたらし、処理時間が大幅に短縮される。このような利点の反面、プログラミングはエニュメレーションメソッドに比較して複雑化する。頂点の統合及びarc削除の方法を次に述べる。

###### 3.2.2.1 頂点の統合

図3に示すように、出力次数1である頂点V1の出力arcの行先の頂点V2の入力次数が1であるとき、V1とV2を統合することができる。

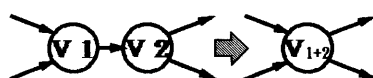


図3 頂点の統合

### 3.2.2.2 arc の削除

(1) 図4に示すように、ある頂点の出力arcを選択したとき、その頂点で選択されなかった他の出力arcを削除することができる。

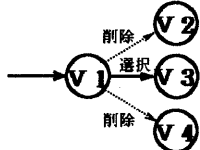


図4 非選択arcの削除

(2) 図5に示すように、生成されているパスがまだハミルトンパス（グラフの全ての頂点をちょうど1回通る道）になっていないとき、そのパスの最終頂点から開始頂点へのarcがあれば削除することができる。

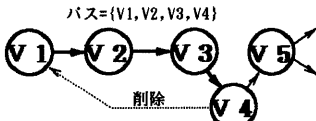


図5 開始頂点へのarc削除

(3) 図6に示すように、頂点の入力次数が1であれば、当該arcの元の頂点における他の出力arcは削除することができる。このような頂点は、グラフに初めから存在することも、またarc削除処理の結果生じることもある。

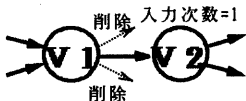


図6 出力arc決定によるarc削除

(4) 図7に示すように、頂点の出力次数が1であれば、当該arcの行先の頂点における他の入力arcは削除することができる。このような頂点は、本報告において取り扱っているグラフについては出力arc数 = 3 ~ 5に設定しているため、初めから存在することはないが、arc削除処理の結果生じることがある。

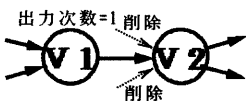


図7 入力arc決定によるarc削除

### 3.2.2.3 arc削除の連鎖

前項で示したarc削除の結果、新たに入力（出力）次数 = 1 の頂点が生じたときは再びそれぞれに応じてarc削除が可能である。これについては次の重要な事項がある。

頂点の入力（出力）次数が1であることに伴う、当該arcの元の頂点（行先の頂点）の他の出力（入力）arc削除による連鎖反応によって生じる可能性があるのは、入力（出力）次数1の頂点であり、その逆、つまり出力（入力）次数1の頂点は生じない。すなわち頂点の入力（出力）次数 = 1 によるarc削除処理は連鎖反応によってそれ自体が連続する可能性があるということであり、これは処理の性能向上に有利である。

### 3.2.2.4 arc削除の効果

arc削除処理をアルゴリズムの各段階で行いつつ前進することによって、得られる効果は次のとおりであり図8に示す。

(1) パスの中間頂点からパス以外への出力arc、またはパス以外から中間頂点への入力arcは存在しない。すなわち、通って来た道は1本のパスになっている。

(2) パスの開始頂点の出力arcでパスに接続されないarcは削除されている。

(3) パスの最終頂点に終端しているarcでパスに接続されないarcは削除されている。

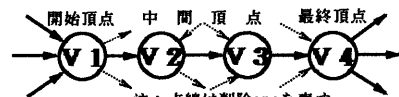


図8 arc削除の効果

### 3.2.2.5 削除arcの復旧

ハミルトン閉路の探索過程において、削除されたarcであっても、"後進"によって、削除されるに至った原因が解消されれば復旧しなければならない。このため、arcを削除するときは、削除されるに至った原因をそのarc毎に記録しておき、復旧するときは、それを参照して行なう必要がある。削除arcの復旧処理の方法は、arc削除と同様に処理時間を左右する重要な事項であり、実際の処理においては、"前進"するとき、arcの削除処理が生じた場合は、削除するarcの名前を専用のスタックにプッシュしておき、"後進"するときはポップして、そのarcを復旧するという方法を用いている。

### 3.3 ホストでのグラフの処理方法

グラフのハミルトン閉路を並列処理システムを用いて求めるとき、各PEで求めたハミルトン閉路の全ては、元のグラフに含まれていたハ

ミルトン閉路の全てと、集合として一致していなければならぬ。つまり並列処理するためグラフを分割するときにハミルトン閉路の重複及び抜けが無いことが必要である。これを満たすためホストでは次のようにグラフを分割処理する。まず、元のグラフの適当な頂点に注目して、そこからの出力  $a_r c$  を取捨選択することによって場合分けを行う。場合分けの数が P E 数に満たないときは、他の適当な頂点においても場合分けを行うことによって、P E 数に一致させる。場合分けしなかった頂点の  $a_r c$  は当然そのままとする。このとき分割したグラフに対する処理の負荷がなるべく均等になるよう考慮することが必要である。グラフの分割処理方法について、具体例として 2 分割する場合を図 9 に示す。元のグラフの頂点  $V_2$  からの出力  $a_r c$  を取捨選択することによって 2 分割できる。このように分割することによって、元のグラフに存在するハミルトン閉路は漏れなく、かつ重複する事なく分割したグラフに移る。ただしこれによりハミルトン閉路が分割されたグラフ全てに分散されるとは限らない。

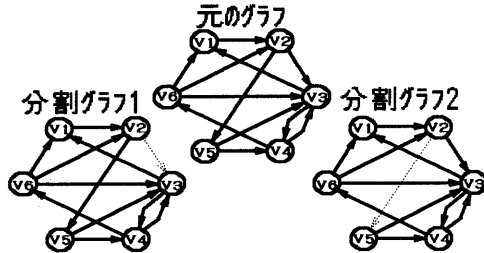


図 9 グラフの分割処理

### 3.4 処理の概要

ハミルトン閉路求解処理の流れを図 10 に示す。これはエニュメレーションメソッド及びマルチパスメソッドに共通のものである。

(1) ホストはグラフを P E 数に応じた数に分割処理し、分割されたグラフを各 P E にダウンロードする。

(2) 次にホストは全 P E に処理開始信号を送り、各 P E はアルゴリズムに従いハミルトン閉路を求めた後に処理終了信号をホストに返す。

(3) 各 P E を監視していたホストは P E からの処理終了信号を受けると P E の処理結果をアップロードする。

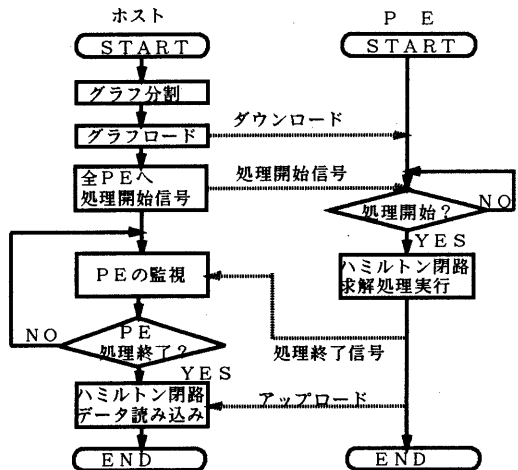


図 10 処理の流れ

## 4. 評価

### 4.1 実装順序

本システムへの実装は、プログラミングの難易度から、エニュメレーションメソッド、マルチパスメソッドの順で行った。

### 4.2 グラフの作成

ハミルトン閉路を求める対象とするグラフを作成するため、事前にグラフにおけるハミルトン閉路数の一般的傾向を調べた。その結果によると頂点数を固定して 1 頂点あたりの  $a_r c$  数を増化させると、それに伴いハミルトン閉路数は急激に増加し、また 1 頂点あたりの  $a_r c$  数を固定して頂点数を増加させた場合も、同様である。ただし頂点数に比較して 1 頂点あたりの  $a_r c$  数が小さいと、ハミルトン閉路が存在しないグラフが多くなる。これらの事実を踏まえて、対象とするグラフは次のように作成する。

(1) 各頂点からの出力  $a_r c$  数（出力次数）は 3 から 5 の範囲でランダムに変化させる。

(2) 出力  $a_r c$  の行先もまたランダムに変化させる。ただし自己ループは無いものとする。

(3) 出力  $a_r c$  数及び行先をランダムに変化させると、 $a_r c$  の行先が特定の頂点に集中してしまうことがある。そこでグラフのデータ構造を簡単にするために、入力  $a_r c$  数は 10 を限度としてそれを越えるものは扱わない。

### 4.1 エニュメレーションメソッドによるハミルトン閉路求解

本システムと他システムの処理能力を比較するため、頂点数が 10, 15, 20 の各々の場

合について、1000個のグラフのハミルトン閉路をすべて求め、1閉路を求めるのに要した平均時間を図11に示す。処理時間の大きいものから順にホストのみで処理した場合、参考文献<sup>[6]</sup>に記載されているCDC6600、次に4PE実装時の本システムとなっている。

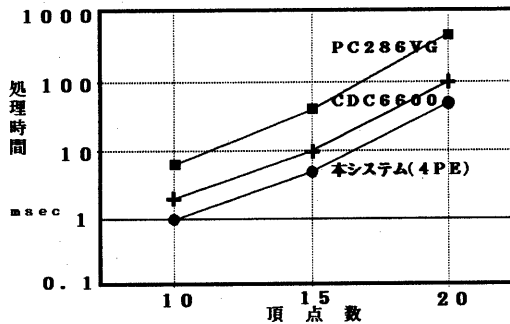


図11 各システムの処理能力

次に本システムにおいて、PE数を変化させた場合の処理時間を図12に示す。処理時間はPE数が1の場合に正規化して表現している。ダウンロード時間はPEでの処理時間に比較して小さいためこの図には現れていない。PEでの処理時間は、PE数の増加につれて負荷が分散されるため減少している。またアップロード時間は、3.3項で述べたようにハミルトン閉路数がグラフを分割しても変化しないため、ほぼ一定となっている。結局、4PEの台数効果として2.7が得られている。

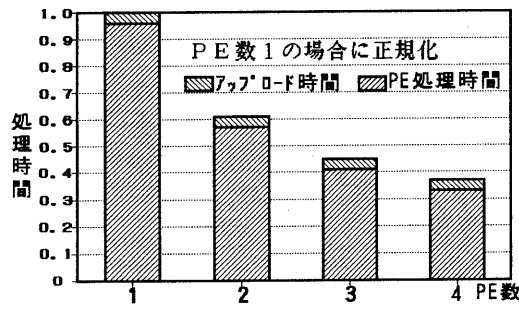


図12 PE数と処理時間の関係

ここで台数効果を制約している要因を検討すると、まず負荷のアンバランスが考えられる。これは複数のPEにハミルトン閉路求解処理を行わせるためグラフを分割処理したときに、分割されたグラフの持つ負荷がアンバランスになり各PEの処理終了時間に差が生じることである。この具体例を図13に示す。元のグラフの

持つ負荷を1とし、これを4分割するとき、図13に示すようにアンバランスになったとする。各PEでの処理が終了するのは、4分割されたグラフの中で最大負荷のもので決まってしまう。理想的に均等分割された場合に比較して、処理時間が増加する割合を処理時間増加係数と呼ぶことにする。この例の場合では $0.35 \div 0.25 = 1.4$ となる。

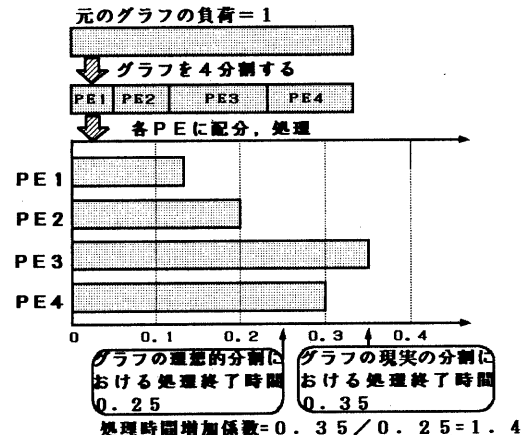


図13 負荷のアンバランス

そこで2000個のグラフについて3.3項に示した方法でグラフを4分割した場合の処理時間増加係数を調べると図14のようになる。x軸は処理時間増加係数でy軸はそれに対する度数である。下側95%の平均を取ると1.37になってしまっており、先ほどの台数効果のデータから逆に推定した値は1.38となっているので、4PEにおける台数効果はほとんどこの処理時間増加係数によって決定されていると言える。

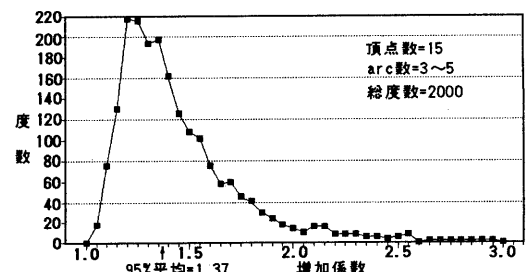


図14 処理時間増加係数の分布

次にダウンロード時間は、PE数が少ないときは問題にならないがPE数の増加に伴い無視できなくなる。アップロード時間に関しては、先に述べたように、PE数による変化はほとんど無い。

以上の検討結果をもとに、本システムの P E 数を増加させた場合の処理時間及び台数効果を、次の前提条件のもとで推定した。その結果を図 1 5 に示す。

(1) ダウンロード時間

$$T_{\text{Dwn}} = T_{\text{Grf}}(1 + K_{\text{Grf}} \times n) \div N_{\text{cir}}$$

$$T_{\text{Grf}} = T_w \times K_{\text{act}} \times (1 + \text{VER}(1 + \text{ARC}))$$

(2) P E 処理時間

$$T_{\text{Pe}}(n) = T_{\text{Pe}}(1) \times K_{\text{Pe}}(n) \div n$$

(3) アップロード時間

$$T_{\text{Up}} = K_{\text{act}} \times T_w \times (1 + \text{VER})$$

(4) 定数等

VER : 頂点数 = 15

ARC : 平均 ARC 数 = 4

$K_{\text{Grf}}$  : グラフ分割処理の処理時間係数 = 0.5

$N_{\text{cir}}$  : グラフの平均ハミルトン閉路数 = 480

$T_w$  : データ転送時間 = 0.022 msec/word

$K_{\text{act}}$  : 実処理時の増加係数 = 1.2

$T_{\text{Pe}}(1)$  : 1 P E 処理時間 = 9.492 msec

$K_{\text{Pe}}(n)$  : 処理時間増加係数 =  $n^{0.2273}$

$n$  : P E 数 1, 2, 4, ...

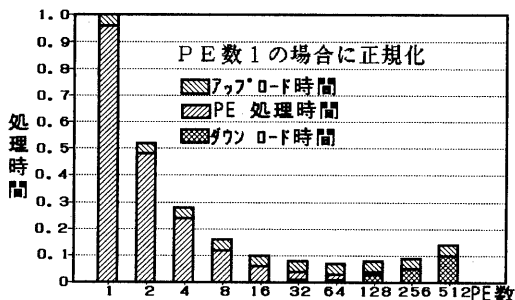


図 1 5 P E 数と推定処理時間の関係

この結果から、本システムを 64 P E に拡張したとき、台数効果として最良の 1/6 が得られ、また 64 P E 以上ではダウンロード時間が支配的になり台数効果が減少すると推定される。

## 4.2 マルチパスメソッドによる評価

### 4.2.1 マルチパスメソッド実装の動機

エニュメレーションメソッドを本システムに実装した場合には、上に記したような能力を有することが明らかになった。しかし対象とするグラフの頂点数の増加に伴い処理時間は急激に増加し、実験を行う場合にも 25 頂点程度のグラフを取り扱うのが限度である。そこで処理能力の向上が期待できるマルチパスメソッドを本システムに実装し、より大規模なグラフのハミ

ルトン閉路を求めるることとした。

### 4.2.2 マルチパスメソッドとエニュメレーションメソッドの比較

それぞれの方法で、本システムの 1 個の P E を用いて、複数のグラフの全てのハミルトン閉路を求めた。その時の 1 ハミルトン閉路当たりの探索所用時間を図 1 6 に示す。頂点数を V としたとき、所用時間はエニュメレーションメソッドは、

$$t = 0.015 \times 10^{V/6} [\text{msec}] \quad (1)$$

マルチパスメソッドは

$$t = 0.75 \times 10^{V/30} [\text{msec}] \quad (2)$$

で近似的に表現できる。ただしこれは 4.2 項で述べた条件で作成した頂点数が 50 までの範囲のグラフでいえることであり、必ずしも一般的にいえることではない。

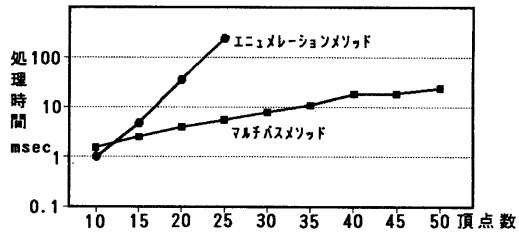


図 1 6 頂点数と処理時間の関係

### 4.2.3 マルチパスメソッドによる台数効果

マルチパスメソッドを複数の P E に実装したときの P E 数と処理時間の関係を図 1 7 に示す。

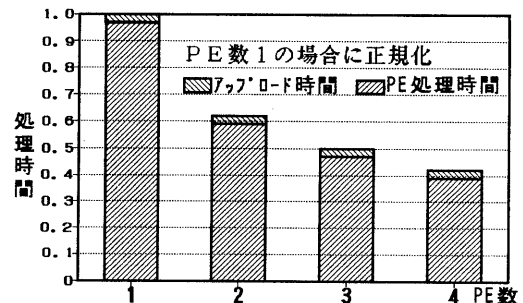


図 1 7 P E 数と処理時間の関係

処理時間の割合については基本的にエニュメレーションメソッドの場合と同じ傾向を示しており 4 P E の台数効果は 2.3 となっている。台数効果がエニュメレーションメソッドの場合に比較して下がっているのは、エニュメレーションメソッドが総当たり的な探索を行うのに対して、マルチパスメソッドがグラフの退化処理を行っていることがグラフ分割における負荷の

不均等を大きくして、台数効果を下げていることが考えられる。

#### 4.2.4 PE増設時の処理能力の推定

本システムのPEを増設した場合の処理能力を推定する。本システムにおける処理時間は

- (1) ダウンロード時間
- (2) PE処理時間
- (3) アップロード時間

に分かれている。この(1), (2), (3)について、ある程度の誤差は生じるがn個のPEの場合の処理時間を求めればよい。まず始めにグラフを3. 3項で示した方法でn分割する。分割したグラフを順次、ある1個のPEにダウンロードし、処理させ、結果をアップロードし各々の時間を測定する。この数値からn個のPEで並列処理させた場合の時間を求めるには、ダウンロード及びアップロード時間については各々の和をとれば良い。またPEの処理時間は分割したグラフの内の最大負荷の処理時間で決まる。頂点数15の1000個のグラフについて、64PEまでを上に述べた方法で、また、それ以上のPE数の場合についてはそれ以下のデータから推定して求めた結果を図18に示す。

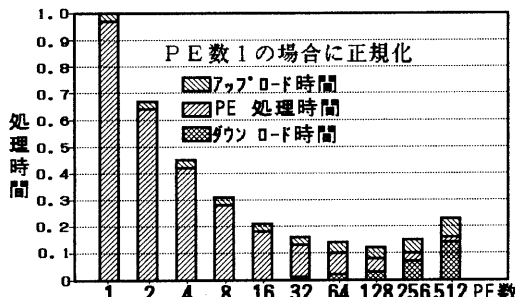


図18 PE数と推定処理時間の関係

この結果は128PEで最良となっているが、本システムのPEの最大実装数は64であることから、64PEまで拡張して台数効果は7. 1が得られることが明らかになった。

#### 4.3 評価のまとめ

エニュメレーションメソッド及びマルチバスメソッドの台数効果は15頂点のグラフについて求めたものである。ここで頂点数の異なる他のグラフについても台数効果は大きく変化しないと仮定して両方法の処理能力を求めたものを図19に示す。これによるとエニュメレーションメソッドはマルチバスメソッドに台数効果及

び小規模なグラフに対する処理能力は勝っているが、大規模なグラフに対してはマルチバスメソッドの方が優れていることがわかる。

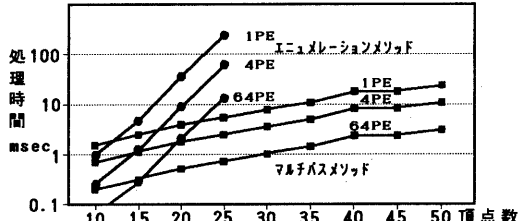


図19 複数PEでの処理能力

#### 5. おわりに

ハミルトン閉路を求めるため、当研究室で試作したバス結合型並列処理システムに、エニュメレーションメソッドとマルチバスメソッドを実装した。その各々について、台数効果は4PEで2.7及び2.3が得られた。その制約要因はグラフ分割による負荷のアンバランスが最も多く、ついでダウンロード時間の増大である。さらに本システムを拡張した場合の台数効果は、64PEで各々1.6と7.1が得られることが推定される。また頂点数の大きい、大規模なグラフを扱うときはマルチバスメソッドの方が高速であることが明らかになった。

今後は、マルチバスメソッドの改善と、本システムを用いて処理するときの並列処理能力の向上策の検討を行う予定である。

#### 参考文献

- [1] 吉川和宏等：“マルチDSPシステムのアーキテクチャと並列信号処理開発環境”，情報処理学会第43回(平成3年)全国大会予稿集, 7 U-1(1991).
- [2] 高橋, 黒川, 古賀：“バス結合方式による並列処理システム”, 信学技報CPSY93-38(1993).
- [3] 楠原, 尾田, 松原, 黒川, 古賀：“バス結合型DSPによる信号処理”, 情報処理学会第48回(平成6年前期)全国大会, 7B-6(1994).
- [4] NEC μPD77240ディジタル・シグナル・プロセッサ ユーザーズ・マニュアル(1991)
- [5] NEC RA77240アセンブラー・パッケージ ユーザーズ・マニュアル(1991)
- [6] N. Christofides: "Graph Theory-an Algorithmic Approach", p. 214, Academic Press (1975).